

بهینه‌سازی متغیر پاسخ در مدل رگرسیون لجستیک ترتیبی با استفاده از الگوریتم‌های ابتکاری و فراابتکاری (مطالعه‌ی موردی: ارزیابی میزان رضایتمندی دانشجویان از کارایی خدمات سایت کامپیوترا)

مهندسی صنایع و مدیریت شرتف
دوری ۱۳۸۷، شماره ۱، ص. ۷۹-۹۴

مهدى بشيری* (دانشجو)

رضا کامران‌زاد (دانشجوی کارشناسی ارشد)

حسین کربه‌ی (دانشجوی کارشناسی ارشد)

دانشکده‌ی فنی و هندسی، گروه هندسی صنایع، دانشگاه شاهد

ارزیابی وضعیت کیفیت، به عنوان یکی از گام‌های اساسی بهبود کیفیت، غالباً با داده‌های طبقه‌بندی شده انجام می‌شود. در این مطالعه براساس مدل رگرسیون لجستیک ترتیبی به پیش‌بینی وضعیت کیفیت خدمات براساس مقادیر مختلف متغیرهای کنترلی پرداخته می‌شود. پس از مدل سازی مستقله‌ی بهینه‌سازی سطح پاسخ برای داده‌های طبقه‌بندی شده، به عنوان یکی از نوادری‌های این مطالعه، ابتدا روشی ابتکاری برای حل مدل ارائه می‌شود و سپس الگوریتم فراابتکاری براساس شبیه‌سازی ترید برای بهبود عملکرد الگوریتم پیشنهاد شده است. در ادامه دو مثال عددی به همراه نتایج حاصله به بررسی عملکرد الگوریتم‌های پیشنهادی می‌پردازد. روش پیشنهادی در یک مثال واقعی نیز پیاده‌سازی شده که نتایج آن در انتها تحلیل شده است. نتایج بررسی‌ها نشان‌دهنده‌ی عملکرد بهتر الگوریتم فراابتکاری نسبت به الگوریتم ابتکاری پیشنهادی است.

bashiri@shahed.ac.ir
kamranrad@shahed.ac.ir
hkarimi@shahed.ac.ir

واژگان کلیدی: بهینه‌سازی متغیر پاسخ، رگرسیون لجستیک ترتیبی، متغیر کنترلی، الگوریتم‌های ابتکاری و فراابتکاری.

۱. مقدمه

فاصله‌بی^۱) و همچنین داده‌های گستته (اسمی و ترتیبی^۲) به کار برد.^[۳] یکی از انواع رگرسیون قابل استفاده برای تحلیل داده‌های گستته (طبقه‌بندی شده) رگرسیون لجستیک ترتیبی^۳ است. در ادامه توضیحات بیشتری درخصوص این شیوه ارائه خواهد شد.

یکی از اهداف «رگرسیون لجستیک ترتیبی» بهینه‌سازی متغیر پاسخ در مسائل مختلف است. بدین معنا که با تغییر وضعیت متغیرهای کنترلی، وضعیتی بهینه برای متغیر پاسخ حاصل می‌شود. هدف این پژوهش، بهینه‌سازی متغیر پاسخ در مدل رگرسیون لجستیک ترتیبی با استفاده از روش‌های ابتکاری و فراابتکاری است. بررسی این موضوع و تحلیل نتایج حاصل از آن پژوهشی جدید در ادبیات موضوعی رگرسیون لجستیک ترتیبی است. در این نوشتار ابتدا پیشنهادی از مطالعات صورت‌گرفته در این زمینه ارائه می‌شود و پس از بیان مفاهیم رگرسیون لجستیک، مدل‌های رگرسیون لجستیک ترتیبی ارائه شده است. سپس بهینه‌سازی مستله که موضوع اصلی این تحقیق بوده و نحوه‌ی انجام این کار با استفاده از الگوریتم‌های ابتکاری و فراابتکاری

امروزه مدیران و صاحبان سرمایه به دنبال ابزارهایی هستند که آنان را در پیش‌بینی وضعیت آتی شرکت‌ها و سازمان‌های متیوع خود باری کند. این پیش‌بینی‌ها، وضعیت آتی فروش محصولات، میزان رضایتمندی مشتریان از خدمات ارائه شده و... را شامل می‌شود. ابزارها و شیوه‌های مختلفی در این زمینه وجود دارد که یکی از آن‌ها شیوه‌ی رگرسیون است. «رگرسیون» یکی از روش‌های آماری بسیار کاربردی است که با در دست داشتن اطلاعات یک رویداد قادر به پیش‌بینی وضعیت‌های دیگری از آن رویداد است. بدین‌منظور با استفاده از فاکتورهای کنترلی موجود، وضعیت متغیر پاسخ تعیین می‌شود. رگرسیون لجستیک نیز همانند رگرسیون معمولی از یک متغیر پاسخ — اما با توزیع احتمالی برآولی و با احتمال موقیت π — برخوردار است.^[۴] به طور کلی رگرسیون را می‌توان برای تحلیل داده‌های پیوسته (نسبی و

* نویسنده مسئول

تاریخ: دریافت ۱۰/۷/۱۳۸۹، اصلاحیه ۱۱/۱۰/۱۳۸۹، پذیرش ۲۲/۱۰/۱۳۸۹.

ارتباط بین ارزیابی بلوغ و پارامتر زمان توسط رگرسیون لجستیک ترتیبی ارائه شد.^[۱۱] مقاله‌ی «مروری بر ادبیات کاربرد رگرسیون لجستیک ترتیبی در ارزیابی کیفیت زندگی بر سلامتی افراد»^[۱۲] از جمله منابعی است که برای مطالعه بیشتر در این زمینه پیشنهاد می‌شود. یکی دیگر از کاربردهای رگرسیون لجستیک در امور بازاریابی و فروش و صنعت است. در سال ۲۰۰۶ تجزیه و تحلیلی برای رضایت مشتریان توسط رگرسیون لجستیک بازنی و اسمی و ترتیبی انجام داده‌اند. آن‌ها پس از به دست آوردن رابطه‌ی رگرسیون، توانستند عامل اثرگذار رضایت مشتری را بیانند.^[۱۳] در سال ۲۰۰۸ از رگرسیون لجستیک ترتیبی برای بررسی نقش احساسات مشتریان در طراحی محصول استفاده شد؛^[۱۴] بدین‌صورت که ابتدا نیازمندی‌های و احساسات مشتریان را در مورد محصولی خاص (مطالعه‌ی موردی: اثاث کامپیوون ولولوا بررسی شد و سپس این نظرات برای برقراری ارتباط منطقی بین طراحی محصول و نیازهای مشتریان به طرح منتقل شد. در سال ۲۰۰۸ محققین برای یافتن ارتباط شاخص‌های رضایت ملی و توسعه‌ی اقتصاد کلان، از رگرسیون لجستیک ترتیبی استفاده کردند.^[۱۵] آن‌ها از تابع رگرسیون لجستیک ترتیبی در مدل سازی برنامه‌ریزی آرمانی استفاده کردند.

در سال ۲۰۰۹ نقش رگرسیون لجستیک ترتیبی برای تعیین نوع طراحی بهینه‌ی وسائل آشپزخانه در مقابل تحلیل متقابل برای شیرآلات آشپزخانه مورد بررسی قرار گرفت.^[۱۶] در آن مطالعه در مورد شیرهای آشپزخانه با شکل‌های مختلف ابتدا از چند نفر خواسته شد تا بهترین شیر را به دلخواه انتخاب کنند. سپس توسط رگرسیون لجستیک ترتیبی شیری که بیشترین امتیاز را به دست آورد، انتخاب شد و بعد پارامترهای تشکیل دهنده‌ی شیر انتخابی مورد بررسی قرار گرفت؛ برای هرچه بهترشدن طراحی محصول از تحلیل متقابل استفاده شد.^[۱۷] در سال ۲۰۱۰ نیز محققین برای بهینه‌سازی مقاومت کششی فیبرهای کربنی و هدایت الکتریکی آن از المکوریتم ژنتیک استفاده کردند. برای این کار ابتدا تابع رگرسیون را به دست آورده و سپس پارامترهای این تابع را برای شناسایی مقادیر بهینه‌ی پارامترها، توسط الگوریتم ژنتیک بهینه کردند.^[۱۸] در جدول ۱ پژوهش‌های انجام شده در زمینه‌ی رگرسیون لجستیک ترتیبی به اختصار ارائه شده است.

۳. مروری بر مفاهیم رگرسیون لجستیک

رگرسیون لجستیک یکی از انواع رگرسیون غیرخطی است که در پاسخ‌های طبقه‌بندی شده کاربرد دارد. منظور از پاسخ‌های طبقه‌بندی شده، آن است که دیگر متغیر پاسخ پیوسته نبوده و به صورت گستته بیان می‌شود. به عبارت دیگر تعداد پاسخ‌ها در رگرسیون لجستیک یکی است، اما متغیر پاسخ دارای دو یا چند طبقه‌بندی است. تحلیل واریانس ابزار تجزیه و تحلیل متغیرهای پیوسته است؛ گفتنی است که می‌توان از تحلیل واریانس غیرپارامتریک^۱ برای تحلیل داده‌های طبقه‌بندی شده نیز استفاده کرد. شباهت این روش با شیوه‌ی رگرسیون لجستیک در بین نیازی از نرمال بودن جامعه‌ی آماری است. دلیل استفاده از مدل‌های رگرسیون لجستیک به جای تحلیل واریانس غیرپارامتریک آن است که در آزمون‌های ناپارامتری مانند آزمون علامت، برای تصمیم‌گیری به جای اعداد از علامت قراردادی استفاده می‌شود؛ مثلاً با قراردادن عدد ۱۰ به عنوان عدد مینا و تخصیص علامت مثبت برای اعداد بزرگ‌تر از عدد مینا و علامت منفی برای اعداد کوچک‌تر از عدد مینا، تعداد علامت‌های مثبت و منفی ملک تصمیم‌گیری قرار می‌گیرد. این کار میزان خطای آزمون را افزایش می‌دهد چرا که در این روش هم عدد ۲۰ و هم عدد ۱۰۰ علامت مثبت گرفته،

— که برای نخستین بار در این مطالعه صورت گرفته — مورد بحث قرار خواهد گرفت. این الگوریتم‌ها توسط مثال‌های عددی مورد تحلیل قرار می‌گیرند و نیز برای نشان دادن کاربرد عملی این تحقیق، مطالعه‌ی کاربردی در زمینه‌ی این تحقیق انجام شده است. در پایان نتایج حاصل مقایسه شده و مورد بررسی قرار گرفته است.

۲. مروری بر مطالعات پیشین

رگرسیون لجستیک یکی از شیوه‌های آماری است که در مسائل بهداشتی و درمانی بسیار مورد استفاده قرار گرفته است. این شیوه نه تنها در زمینه‌ی پزشکی، بلکه در زمینه‌های دیگری همچون بازاریابی و فروش، صنعت و... کاربرد فراوانی دارد. در واقع این شیوه ابزاری است قدرتمند در دست مدیران برای نیل از اهدافشان که همانا از ارائه محصولات و خدمات با کیفیت بالا و کسب سود بیشینه است. رگرسیون لجستیک تا اواسط دهه ۴۰ میلادی توسعه یافته بود و تا دهه ۷۰ میلادی نیز کم‌تر مورد استفاده قرار می‌گرفت، اما هم‌اکنون کاربردهای فراوانی یافته است.^[۲] مطالعات اولیه در رابطه با این شیوه در راستای ارائه مدل‌ها و روابط آماری بوده، در حالی که مطالعات بعدی شامل بهکارگیری و استفاده از روابط در مسائل ذکر شده است.

در سال ۱۹۶۷ محققین مدل لجیت تجمعی را پیشنهاد دادند^[۳] که بعد ازا در سال ۱۹۸۰ توسعه یافت و به مدل نسبی احتمالات شهرت پیدا کرد.^[۴] در واقع مدل رقمی تجمعی معیار محاسبه‌ی احتمالات تجمعی در رگرسیون لجستیک بوده، اما به دنبال محاسبه‌ی احتمالات جزیی برای هر تیمار از متغیر پاسخ هستیم که این کار بعداً توسط محققین دیگری انجام شد. در سال ۱۹۸۰ یک مدل جایگزین برای مدل نسبی احتمالات ارائه شد که مدل «نسبت تجمعات» نام گرفت.^[۵] در سال ۱۹۸۴ برای بررسی تأثیر میزان در چهار دارو بر سلامتی افراد از مدل رگرسیون لجستیک ترتیبی استفاده شد.^[۶] در سال ۱۹۹۰، مدل احتمالات جزیی نسبی برای رگرسیون لجستیک ترتیبی ارائه شد.^[۷] این مدل که به دو زیرمدل با محدودیت و بی‌محدودیت تقسیم می‌شود، توانست محاسبه‌ی مقادیر احتمال را ساده‌تر کند. در واقع مدل استفاده در این تحقیق نیز مدل احتمالات جزیی نسبی (مدل پیترسون) است که در همین نوشтар به تبیین مدل و نحوه‌ی بهکارگیری آن در بهینه‌سازی مسئله اشاره شده است.

چنان که اشاره شد یکی از کاربردهای رگرسیون لجستیک در امور بهداشت و درمان است؛ در این زمینه کارهای فراوانی انجام شده که برخی از آن‌ها عبارت است از: کاربرد رگرسیون لجستیک ترتیبی در پیش‌بینی تومور روده (در سال ۱۹۹۱).^[۸] برای انجام این کار، محققین با استفاده از ۴۶۱ بیمار اذعان داشتند که روش آن‌ها به درستی توانسته است تومور بیماران انتخابی را پیش‌بینی کند، اما آن‌ها دلیلی برای عمومیت این روش بیان نکردند. پس لزومی برای درست بودن این روش براساس متغیرهای کنترلی تعیین شده برای بیماران دیگر وجود ندارد. در سال ۱۹۹۹ از نسبت‌های ترتیبی برای ارزیابی شدت بیماری با مقیاس طبقه‌بندی شده — از قبیل ضعیف، متوسط و شدید — استفاده شد.^[۹] بدین‌منظور هر یک از متغیرهای پاسخ نامبرده به ترتیب با اعداد ۱، ۲ و ۳ نمایش داده شد. عدد ۳ بیان‌گر وضعیت بحرانی تر نسبت به عدد ۲ بوده و عدد ۲ نیز نشان‌دهنده‌ی حالت بحرانی تر از وضعیت ۱ است. با این تعاریف از مدل رگرسیون لجستیک ترتیبی برای محاسبه‌ی احتمال وقوع هر یک از پاسخ‌ها — که نشان‌دهنده‌ی وضعیت و نوع بیماری هستند — استفاده شد. در سال ۲۰۰۹ نیز روش جدیدی با استفاده از مدل سازی آماری برای تعیین

جدول ۱. بررسی مطالعات پیشین در زمینه‌ی رگرسیون لجستیک ترتیبی.

محققین	سال	مدل ارائه شده	کاربرد	بهینه‌سازی یا اصلاح محصول
والکر و همکاران ^[۲]	۱۹۶۷	مدل لجیت تجمعی	رگرسیون لجستیک	--
کولاژ ^[۵]	۱۹۸۰	مدل نسبی احتلالات	--	--
فینبرگ ^[۶]	۱۹۸۰	مدل نسبی تجمعات	--	--
کاکس و همکاران ^[۷]	۱۹۸۴	--	بررسی تأثیر میزان دز چهار دارو بر سلامتی افراد با استفاده از مدل‌های رگرسیون لجستیک ترتیبی	--
پیترسون و همکاران ^[۸]	۱۹۹۰	مدل احتمالات جزیی نسبی	--	--
بریزرو همکاران ^[۹]	۱۹۹۱	--	پیش‌بینی بروز تومور روده با بهکارگیری رگرسیون لجستیک	--
نپ ^[۱۰]	۱۹۹۹	--	استفاده از نسبت‌های ترتیبی برای ارزیابی شدت بیماری با مقیاس طبقه‌بندی شده	--
هوانگ و همکاران ^[۱۱]	۲۰۰۹	--	استفاده از مدل‌سازی آماری برای تعیین ارتباط بین ارزیابی بلوغ و پارامتر زمان توسط رگرسیون لجستیک ترتیبی	--
لال و همکاران ^[۱۲]	۲۰۰۲	--	مروری بر ادبیات کاربرد رگرسیون لجستیک ترتیبی در ارزیابی کیفیت زندگی بر سلامتی افراد	--
لوسوتل و همکاران ^[۱۳]	۲۰۰۶	معرفی انواع مدل‌های رگرسیون لجستیک	بهکارگیری شیوه‌های رگرسیون لجستیک در تعیین میزان رضایتمندی مشتریان	*
ژو و همکاران ^[۱۴]	۲۰۰۸	--	بهکارگیری رگرسیون لجستیک ترتیبی برای بررسی نقش احساسات مشتریان بر طراحی محصول	*
گریگرودیس ^[۱۵]	۲۰۰۸	--	یافتن ارتباط بین شاخص‌های رضایت ملی و توسعه اقتصاد کلان با استفاده از رگرسیون لجستیک ترتیبی	--
ازگی اختر ^[۱۶]	۲۰۰۹	--	بررسی نقش رگرسیون لجستیک ترتیبی برای تعیین نوع بهینه محصول (شیرآلات آشپزخانه) در مقابل تحلیل متقابل	*
یانگ و همکاران ^[۱۷]	۲۰۱۰	--	تعیین ارتباط بین مقاومت کششی فیبرهای کربنی با هدایت الکتریکی و بهینه‌سازی مقادیر پارامترها با استفاده از الگوریتم ژئوتیک	*
پژوهش حاضر		مدل احتمالات جزیی نسبی	بهکارگیری در سنجش میزان رضایتمندی دانشجویان از سایت رايانه دانشگاه	*

---: عدم بررسی روش بهینه‌سازی در مقاله

*: بررسی روش بهینه‌سازی در مقاله

اما دیگر اختلاف این اعداد با عدد مینا در نظر گرفته نمی‌شود. این در حالی است که در شیوه‌ی رگرسیون لجستیک این خطای وجود ندارد و ملاک تصمیم‌گیری خود اعداد هستند. رگرسیون لجستیک به سه دسته‌ی کلی: لجستیک باینری^۵، لجستیک اسحی^۶، و لجستیک ترتیبی تقسیم می‌شود. در رگرسیون لجستیک باینری، پاسخ‌ها به صورت دوایی گستته بیان می‌شود (مثل کوتاه/ بلند). در این نوع رگرسیون متغیر پاسخ به صورت صفر و ۱ تعریف می‌شود. به عبارت دیگر متغیر پاسخ به صورت توزیع اما اگر تعداد طبقه‌بندی متغیرهای پاسخ بیشتر از دو تا باشد، دیگر نمی‌توان از رگرسیون

حاصل برای هریک از متغیرهای کنترلی هستند، تابع لجیت مطابق رابطه‌ی ۶ به دست می‌آید.

$$\text{Logit}(Y \leq i) = \frac{\Pi_i}{1 - \Pi_i} = \exp(Z) \quad (6)$$

اگر تعداد طبقه‌بندی‌های متغیر پاسخ k باشد، آنگاه $\sum_{i=1}^k P_i = 1$ معادله وجود دارد که به همراه معادله $\sum_{i=1}^k P_i = 1$ ، معادله $\sum_{i=1}^k k \cdot P_i = 1$ مجهولی به وجود می‌آید. یعنی برای هر سطر از متغیر پاسخ باید معادلات احتمالی $\sum_{i=1}^k P_i = 1$ را نوشت. برای سطر k ام نمی‌توان معادله‌ی $\sum_{i=1}^k P_i = 1$ را نوشت. چنان که گفته شد، $\sum_{i=1}^k P_i = 1$ احتمالات تجمعی k سطر است و از طرفی داریم: $\sum_{i=1}^k P_i = 1$. درنتیجه مقدار مخرج کسر معادله‌ی $\sum_{i=1}^k P_i = 1$ صفر شده و مقدارش بی معناست. به همین دلیل معادله‌ی $\sum_{i=1}^k P_i = 1$ به $k-1$ معادله اضافه می‌شود. یکی دیگر از روش‌های محاسبه‌ی P استفاده از معادله‌ی ۷ است.

$$P = \frac{e^Z}{1 + e^Z} \quad (7)$$

این روش، ساده‌ترین روش محاسبه‌ی مقادیر احتمالات فردی است که معمولاً برای محاسبات از آن استفاده می‌شود. در ادامه پس از آشنایی با مفاهیم و مدل‌های رگرسیون لجستیک ترتیبی، روش‌های بهینه‌سازی مسئله ارائه می‌شود.

۵. بهینه‌سازی رگرسیون لجستیک ترتیبی

هدف از این بخش بهینه‌سازی متغیر پاسخ در مدل رگرسیون لجستیک ترتیبی است. منظور از بهینه‌سازی متغیر پاسخ، بدست آوردن بیشترین احتمال برای وقوع تیماری با بالاترین رتبه‌ی تخصیصی است. برای داشتن جواب بهینه در این مدل، باید تمام داده‌های موجود را جمع آوری و تحلیل کرد. درصورتی که در دنیای واقعی نیل به این هدف، به عملت نیاز به وقت و انرژی زیاد، مشکل است. پس براساس نمونه‌برداری از دنیای واقعی به تحلیل جامعه‌ی آماری می‌پردازند. در رگرسیون لجستیک ترتیبی هدف از بهینه‌سازی یافتن بهترین ترکیب از عوامل کنترلی است که دارای بیشترین مقدار احتمال در بهترین رتبه‌ی ممکن باشد. برای مثال وقتی که تعداد رتبه‌ها k باشد و فرض شود که بیشترین عدد بهترین رتبه است، آنگاه عدد k بهترین رتبه خواهد شد؛ مدل رگرسیون لجستیک ترتیبی نیز باید برای این عدد بهینه شود، یعنی دست یافتن به رتبه‌ی برتر. بررسی همه حالت‌های ممکن برای بهینه‌سازی امری زمان بر است، و بهمین دلیل در دو زیربخش بعدی روش‌هایی برای کمک‌درن زمان حل با حفظ رسیدن به جواب مناسب پیشنهاد شده است. در ادامه‌ی آن نیز نتایج بدست آمده توسط این دو الگوریتم با هم مقایسه شده‌اند.

۱.۵. الگوریتم پیشنهادی ابتکاری

روش اتخاذشده برای این مनظور چنان است که ابتدا از هر متغیر کنترلی (x_i) به طور تصادفی یک مقدار را انتخاب می‌کنیم. با استفاده از این مقادیر یک جواب اولیه برای $Z = \alpha + \beta_1 x_1 + \beta_2 x_2 + \dots + \beta_m x_m$ را بدست می‌آید. قابل ذکر است که ذاتاً رابطه‌ی رگرسیون لجستیک غیرخطی است و نمی‌توان به جای استفاده از رگرسیون لجستیک از رابطه‌ی رگرسیون درجات بالاتر استفاده کرد، زیرا متغیرهای پاسخ دارای توزیع نرمال نیست (و جنس متغیرها نیز متفاوت است). همچنین می‌توان از رابطه‌ی غیرخطی (وجود ارتباط متقابل بین متغیرها) در سمت راست Z استفاده کرد، اما

لجدستیک بازتری بهره جست و باید از دو نوع دیگر رگرسیون لجستیک استفاده کرد. تفاوت حالت اسمی با ترتیبی آن است که در حالت اسمی جنس متغیرها به صورت اسم (مثل آبی / زرد / قرمز) بوده، در حالی که جنس متغیرها در رگرسیون ترتیبی به صورت رتبه‌ی (مثل ۱، ۲، ۳، ۴، ۵) یا خوب / متوسط / ضعیف) بیان می‌شود. حال باید به این سوال پاسخ داد که دلایل استفاده از رگرسیون لجستیک به جای رگرسیون خطی در تجزیه و تحلیل متغیرهای طبقه‌بندی شده چیست؟ در پاسخ می‌توان به دو دلیل مهم اشاره کرد: نخست آن که شرط استفاده از رگرسیون خطی، نرمال بودن مقادیر متغیرهای باقی‌مانده^[۱۸] است، در حالی که این متغیرها در پاسخ‌های طبقه‌بندی شده لزوماً از توزیع نرمال پیروی نمی‌کنند. دلیل دوم ماهیت متغیرهای طبقه‌بندی شده اسمی با ترتیبی است باید از رگرسیون غیرخطی (الجستیک) برای تحلیل آن‌ها استفاده کرد. از آنجا که هدف این مقاله بهینه‌سازی رگرسیون لجستیک ترتیبی است، در ادامه به بررسی مدل‌های این نوع رگرسیون لجستیک پرداخته می‌شود.

۴. مدل رگرسیون لجستیک ترتیبی

در این بخش مدل رگرسیون لجستیک ترتیبی (بیان مدل پیترسون) معرفی می‌شود. چنان که پیش‌تر نیز بیان شد، رگرسیون لجستیک برای تحلیل متغیرهای پاسخ طبقه‌بندی شده به کار می‌رود. اگر n معرف تعداد طبقه‌بندی‌های متغیر پاسخ (در رگرسیون لجستیک ترتیبی برابر بیشترین رتبه‌ی تخصیصی به پاسخ)، Π معرف احتمالات تجمعی پاسخ‌ها، و p نشان‌گر احتمالات فردی وقوع هر دسته از متغیر پاسخ (احتمال وقوع رتبه‌ی تخصیصی به هر پاسخ) باشد، آنگاه احتمالات تجمعی وقوع متغیرهای پاسخ به صورت رابطه‌ی ۲ است.

$$\Pi(i) = \sum_i P(Y \leq i) = p_1 + p_2 + \dots + p_i \quad (2)$$

شاخص دیگر موجود در شیوه‌ی رگرسیون لجستیک ترتیبی «نسبت احتمالات» است. این نسبت مقدار احتمال تجمعی برای دسته‌ی i am را به مجموع احتمالات دسته‌ی i تا $k-1$ را نشان می‌دهد. رابطه‌ی ۳ معرف نسبت احتمالات برای دسته‌ی i am است.

$$\text{odds}(Y \leq i) = \frac{P(Y \leq i)}{1 - P(Y \leq i)} \quad i = 1, 2, \dots, k-1 \quad (3)$$

به عبارت دیگر می‌توان رابطه‌ی نسبت احتمالات را چنین نیز نوشت:

$$\text{odds}(Y \leq i) = \frac{P(Y \leq i)}{P(Y > i)} \quad i = 1, 2, \dots, k-1 \quad (4)$$

اما مدلی که می‌توان برای محاسبه‌ی مقادیر احتمالات در رگرسیون لجستیک ترتیبی به کار برد، تابع لگاریتم طبیعی است. این تابع به صورت لگاریتمی از نسبت احتمالات نشان داده می‌شود:

$$\text{Logit}(Y \leq i) = \ln\left(\frac{\Pi_i}{1 - \Pi_i}\right) = \ln\left(\frac{P(Y \leq i)}{1 - P(Y \leq i)}\right) \quad (5)$$

که در آن مقدار تابع لجیت تجمعی برابر است با: $Z = \alpha + \beta_1 x_1 + \beta_2 x_2 + \dots + \beta_m x_m$

را داشته باشد، در غیر این صورت دوباره از رتبه‌ی برتر یک کم کرده و این روند را تکرار می‌کنیم تا در رتبه‌ی خاص شرط داشتن مقدار بیشینه‌ی p احراز شود. x ها مقادیر بھینه‌ی متغیرهای کنترلی، و p مقدار بھینه برای سطر مورد نظر است (شکل ۱). یادآور می‌شود در الگوریتم بیان شده به طور فرضی، رتبه‌ی با عدد بزرگ‌تر برتر از رتبه‌ی با عدد کوچک‌تر است؛ مثلاً رتبه‌ی ۸ برتر از رتبه‌ی ۷ است.

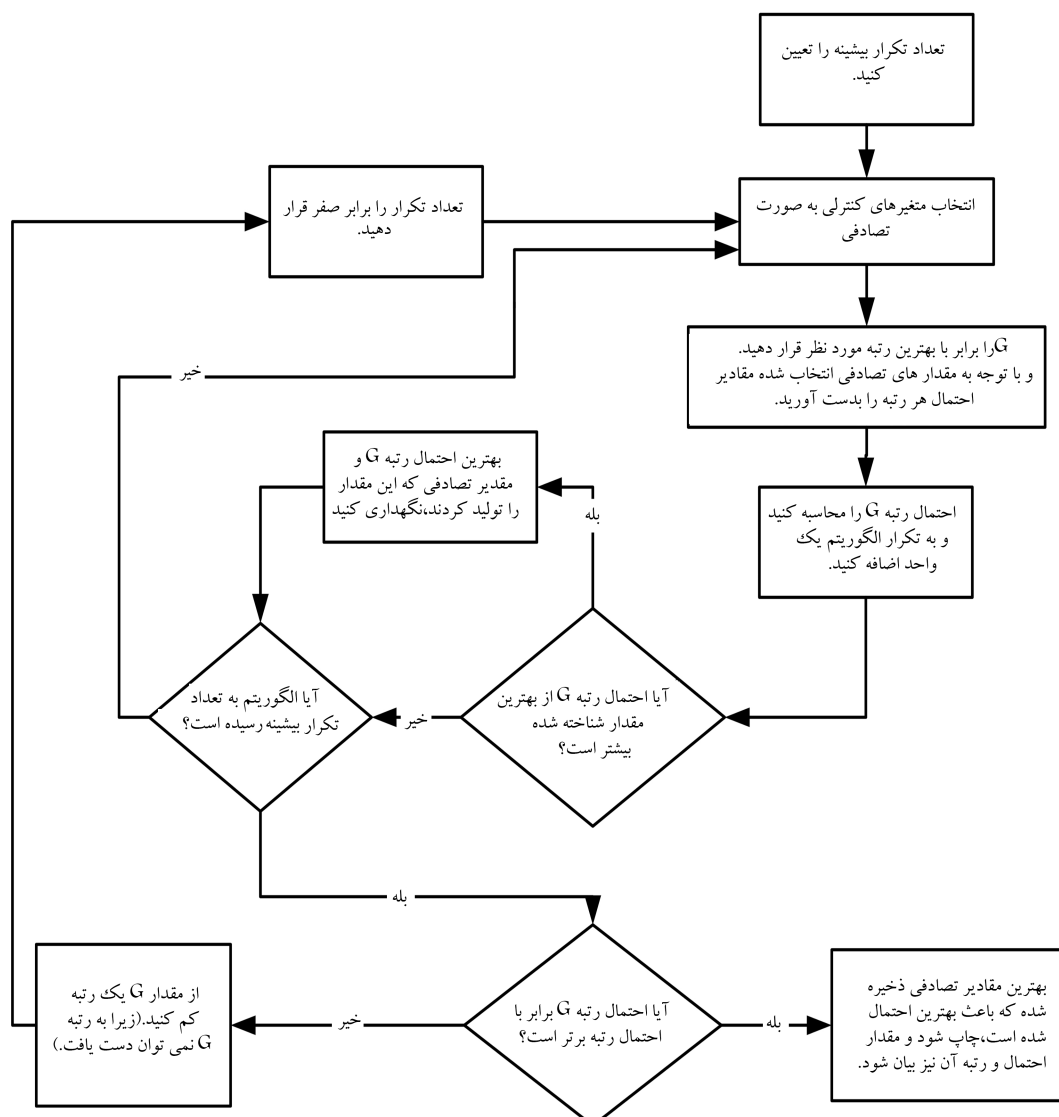
چون در این حالت تخمین ضرایب رگرسیونی^۹ بسیار دشوار است، از رابطه‌ی خطی برای تحلیل استفاده می‌شود. سپس با استفاده از هر جواب اولیه، p ها با استفاده از رابطه‌ی ۶ و رابطه‌ی ۸ با در نظر گرفتن $\sum_{i=1}^k p_i = 1$ به دست می‌آید.

$$\sum_{i=1}^n p_i = \frac{\exp(z)}{1 + \exp(z)} \quad n = 1, \dots, k - 1 \quad (8)$$

با توجه به این مقادیر تصادفی تولید شده، p که بیان‌گر رتبه‌ی برتر است، با بیشترین احتمالی که در ابتدا مشخص شده (مثلاً صفر) مقایسه می‌شود؛ چنانچه از بیشترین احتمال بزرگ‌تر بود، مقدار احتمال و x را ثبت می‌کند و مجدداً به مرحله‌ی اول برمی‌گردد تا با استفاده از مقادیر جدید متغیرها، p های جدید تولید کند. این کار تا تعداد معینی تکرار می‌شود و پس از پایان تکرار، بهترین p و x به دست می‌آید. حال اگر این بهترین p برابر با مقدار بیشینه‌ی p ها بود، الگوریتم خاتمه می‌یابد و در غیر این صورت، از رتبه‌ی برتر یک کم کرده و دوباره الگوریتم با همان تعداد تکرار تعیین شده اجرا خواهد شد. تصمیم‌گیری الگوریتم با مقدار p این رتبه انجام می‌شود و پس از پایان تکرار باید شرط داشتن مقدار p بیشینه

۲.۵. الگوریتم پیشنهادی فراابتکاری

در قسمت قبل یک روش ابتکاری پیشنهاد شد که فرایند حل و بهینه‌سازی مسئله را به صورت تصادفی انجام می‌دهد. درواقع ضعف این روش، تصادفی بودن مقادیر و عدم پیروی از یک منطق کلان است. همین ضعف‌ها موجب عدم قطعیت در پاسخ و فاصله‌ی زیاد جواب با جواب دقیق است. برای رفع این مشکل از الگوریتم‌های فراابتکاری استفاده می‌شود، که معروف‌ترین آن‌ها روش شبیه‌سازی عملیات حرارتی است. شبیه‌سازی عملیات حرارتی یک روش جستجوی مجلی



شکل ۱. فلوچارت الگوریتم پیشنهادی ابتکاری.

۹. رابطه‌ی ۹ را حل کرده و جواب را برابر P_1 بگذارید. و P_2 را یک عدد تصادفی بین ۰ و ۱ قرار دهید، حال اگر $P_2 \geq P_1$ باشد، آنگاه

$$N_{limit} = N_{limit} + 1, B_x = x, B_P = Probability(B_G)$$

عبارت است از افزایش دمای آهن تا دمای ذوب، و سپس کاهش تدریجی دما و رسیدن آهن به خواص موردنظر. پس از رسیدن به خواص مطلوب، یکباره آهن را سرد می‌کنند تا مولکول‌ها در جای خود ثابت باقی بمانند. در شروع فرایند سردکردن تدریجی طبیعتاً مولکول‌ها با سرعت زیادی جابه‌جا می‌شوند و هرچه آهن سرداشود سرعت مولکول‌ها و میزان جابه‌جای آن‌ها کمتر می‌شود. در این الگوریتم فرالاتکاری نیز ما در ابتدای کار (دمای زیاد) تغییرات را راحت‌تر می‌پذیریم و هرچه جلوتر می‌رویم احتمال پذیرش تغییرات کم‌تر و کم‌تر می‌شود. برخی از محققین شرط پذیرش رابطه‌ی ۹ را برای هر حرکت در فرایند سردشدن ارائه دادند.^[۱۹]

۱۰. $T = R \times T$. اگر $T \leq$ بود آنگاه به گام ۱۱ بروید، در غیر این صورت به گام ۳ بروید.

۱۱. مقدار α را به عنوان شمارنده برابر ۱ قرار دهید.

۱۲. اگر $Up(i) - B_X(i) / (Up(i) - Low(i)) = 0,5$ بود آنگاه در غیر این صورت $Up(i) = B_X(i)$.

۱۳. اگر $i = i + 1$ باشد آنگاه به گام ۱۴ بروید، و در غیر این صورت به گام ۱۲ بروید.

۱۴. اگر $D = D + 1$ باشد آنگاه به گام ۱۵ بروید و در غیر این صورت به گام ۵ بروید.

۱۵. اگر $probability(B_G)$ برابر با بیشترین مقدار احتمالات بود آنگاه به گام ۱۶ رفته، در غیر این صورت ۱ $B_G = B_G - 1$ و به گام ۲ بروید.

۱۶. B_G و B_x را به عنوان جواب نهایی چاپ کنید.

یادآور می‌شود برای تنظیم پارامترهای الگوریتم از طراحی آزمایش‌ها استفاده شده است. به این صورت که ابتدا دو سطح پیشنهادی برای هریک از پارامترها انتخاب شده، سپس با استفاده از طرح آزمایشی $1/2$ عوامل کسری 0 تعداد ۱۶ طرح آزمایشی برای این آزمایش به دست آمده است. با توجه به مقدار پارامترهای این طرح، الگوریتم اجراسده و طرحی که دارای مقدار تابع هدف بهتری بود، به عنوان طرح برتر و پارامترهای تنظیم شده انتخاب شده است. در بخش بعدی با حل مثال‌های عددی به بررسی الگوریتم‌های پیشنهادی خواهیم پرداخت.

۶. ارائه و حل مثال عددی

در بخش قبل درمورد دو روش حل، نحوه‌ی عملکرد و نقاط قوت و ضعف هریک از آن‌ها به بحث پرداختیم. در این بخش دو مثال عددی بیان می‌شود که نخستین آن برای بررسی درستی الگوریتم‌های پیشنهادی ارائه شده و مثال دوم نیز به دنبال مقایسه‌ی نتایج حاصل است. این مسائل شامل 10 عامل کنترلی و متغیر پاسخی با 16 طبقه (رتیبه 1 تا 16) است. تمام فاکتورهای کنترلی دارای حد بالا و پایین بوده و برخی از آن‌ها از جنس گسته و برخی از جنس پیوسته‌اند. حدود و نوع عوامل کنترلی در جدول ۲ نشان داده شده است.

از طراحی آزمایش‌ها برای ایجاد این مسئله با 16 تیمار استفاده شده است. بدین‌منظور از نرم افزار Minitab و طرح آزمایشی $1/2^k$ عوامل کسری (از طرح عاملی 2^{k-p}) مورد استفاده قرار گرفته است. این طرح به منظور کاهش اثر عوامل اغتشاش صدبار تکرار شده است. در جدول ۳ طراحی یادشده ثبت شده است.

است که برای بهینه‌سازی مسائل گسته و پیوسته به کار می‌رود. این روش می‌تواند همانند دیگر روش‌های فرالاتکاری از تله‌ی جواب محلی فرار کند. عملیات حرارتی

عبارت است از افزایش دمای آهن تا دمای ذوب، و سپس کاهش تدریجی دما تا رسیدن آهن به خواص موردنظر. پس از رسیدن به خواص مطلوب، یکباره آهن را سرد می‌کنند تا مولکول‌ها در جای خود ثابت باقی بمانند. در شروع فرایند سردکردن تدریجی طبیعتاً مولکول‌ها با سرعت زیادی جابه‌جا می‌شوند و هرچه آهن سرداشود سرعت مولکول‌ها و میزان جابه‌جای آن‌ها کمتر می‌شود. در این الگوریتم فرالاتکاری نیز ما در ابتدای کار (دمای زیاد) تغییرات را راحت‌تر می‌پذیریم و هرچه جلوتر می‌رویم احتمال پذیرش تغییرات کم‌تر و کم‌تر می‌شود. برخی از محققین شرط پذیرش رابطه‌ی ۹ را برای هر حرکت در فرایند سردشدن ارائه دادند.^[۱۹]

$$(9) \quad p = \exp\left(\frac{B_Z - Z}{T}\right)$$

در این رابطه Z و B_Z مقدار تابع هدف در هر تکرارند. T دمای الگوریتم در تکرار موردنظر، و p شرط پذیرش برای حرکت در عملیات حرارتی است. الگوریتم پیشنهادی فرالاتکاری از این رابطه بهره برده است. الگوریتم شبیه‌سازی تبرید در سال ۲۰۰۵ به منظور تخمین شبه پارامترهای رگرسیون خطی به کار گرفته شد و نتایج خوبی نیز ارائه داده است.^[۱۱] الگوریتم پیشنهادی دارای پنج پارامتر است که براساس انجام آزمایش‌های عملی و عملکرد آن‌ها بر روی الگوریتم مطابق آنچه در پیش‌کد آمده، تنظیم شده است. این پیش‌کد در ادامه آورده شده است.

۱.۲.۵ پیش‌کد الگوریتم پیشنهادی فرالاتکاری

۱. تعداد رتبه‌ها را تعیین کنید و G بنامید. B_G را برابر بیشترین رتبه‌ها قرار دهید. همچنین حد بالا و پایین عوامل کنترلی را تعیین کنید و این حدود را به ترتیب Up و Low بنامید و U را برابر تعداد عوامل کنترلی قرار دهید.

۲. مقداری تصادفی بین حدود بالا و پایین هر عامل کنترلی ایجاد کنید و این مقدار B_x را بنامید.

۳. مدل رگرسیون لجستیک ترتیبی را با استفاده از روابط بیان شده حل کنید و مقدار احتمال G را برابر B_P قرار دهید، یعنی: $B_P = probability(B_G)$.

۴. مقدار D را برابر ۱ قرار دهید، D شمارنده‌ی پیشرفت الگوریتم است.

۵. T را برابر 50° به عنوان دمای ابتدای الگوریتم، R را برابر 995° به عنوان دمای انجام الگوریتم، P را برابر 10° به عنوان نزدیکی قرار دهید. همچنین تکرار در حلقه‌ی داخلی قرار دهید. (پنج پارامتر الگوریتم در این قسمت تنظیم شده‌اند).

۶. $Nover$ و N_{limit} را به عنوان شمارنده برابر صفر قرار دهید.

۷. X را برابر مقدار تصادفی بین حدود بالا و پایین برای هر عامل کنترلی قرار دهید.

۸. با توجه به این مقدار، اگر $probability(B_G) \geq B_P$ بود آنگاه $probability(B_G) = N_{limit} + 1$ ، $B_P = probability(B_G)$ و $Nover = Max_nover$. حال اگر $Nover = Nover + 1$ بود، آنگاه به گام 10 بروید، و اگر $N_{limit} = Max_nlimit$ بود، آنگاه به گام 9 بروید.

$$(9) \quad probability(B_G) \leq B_P$$

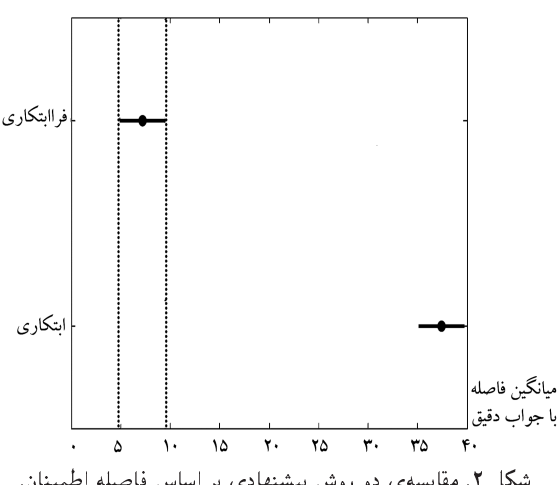
جدول ۲. حدود متغیرهای کنترلی.

نام فاکتور	حد پایین	حد بالا	نوع فاکتور
گسسته	۱۰۰۰	۱۰۰	A
پیوسته	۱۲	۱۰	B
گسسته	۱	۰	C
پیوسته	۱	-۱	D
گسسته	۴۰	۲۰	E
پیوسته	۱	۰	F
گسسته	۴۰	۳۰	G
گسسته	۱	۰	H
پیوسته	۱	۰	I
گسسته	۱۵	۱۰	J

جدول ۳. تیمارهای طراحی شده.

تیمار	عوامل کنترلی									
	J	I	H	G	F	E	D	C	B	A
۱	۱۰	۱	۱	۴۰	۰	۲۰	-۱	۱	۱۲	۱۰۰
۲	۱۵	۱	۰	۳۰	۰	۲۰	-۱	۰	۱۰	۱۰۰
۳	۱۵	۱	۱	۳۰	۰	۴۰	۱	۱	۱۰	۱۰۰
۴	۱۵	۱	۱	۴۰	۱	۴۰	۱	۱	۱۲	۱۰۰۰
۵	۱۵	۰	۱	۴۰	۱	۲۰	۱	۰	۱۰	۱۰۰
۶	۱۵	۰	۰	۳۰	۰	۴۰	-۱	۱	۱۲	۱۰۰
۷	۱۰	۱	۱	۳۰	۱	۲۰	-۱	۱	۱۰	۱۰۰۰
۸	۱۰	۰	۱	۳۰	۱	۴۰	-۱	۰	۱۲	۱۰۰
۹	۱۰	۱	۰	۳۰	۱	۴۰	۱	۰	۱۰	۱۰۰۰
۱۰	۱۵	۱	۰	۴۰	۱	۲۰	-۱	۰	۱۲	۱۰۰۰
۱۱	۱۵	۰	۱	۳۰	۰	۲۰	۱	۰	۱۲	۱۰۰۰
۱۲	۱۰	۰	۱	۴۰	۰	۴۰	-۱	۰	۱۰	۱۰۰۰
۱۳	۱۰	۱	۰	۴۰	۰	۴۰	۱	۰	۱۲	۱۰۰
۱۴	۱۵	۰	۰	۴۰	۱	۴۰	-۱	۱	۱۰	۱۰۰
۱۵	۱۰	۰	۰	۳۰	۱	۲۰	۱	۱	۱۲	۱۰۰
۱۶	۱۰	۰	۰	۴۰	۰	۲۰	۱	۱	۱۰	۱۰۰۰

هر تیمار در جدول ۳ دارای یک پاسخ است که این پاسخ همان رتبه‌های رگرسیون لجستیک ترتیبی‌اند. پس در هر تکرار مقادیر پاسخ برای هر تیمار یکتاست. یعنی در یک تکرار دو تیمار نمی‌توانند دارای رتبه‌ی برابر باشند. ضرایب $(\beta_i = 1, 2, \dots, 15)$ و ثابت $\alpha_j = 1, 2, \dots, 15$ با نرم‌افزار Minitab محاسبه شده است. مدل رگرسیون لجستیک ترتیبی برای مسئله‌ی اول در ضمیمه‌ی الف آمده است.



الگوریتم‌های ابتکاری و فراابتکاری برای مسئله‌ی ۱ توسط نرم‌افزار MATLAB7/۸ در یک CPU ۲/۵۳GHz RAM ۴GB پردازش شده، پیاده‌سازی شده و نتایج آن در جدول ۴ آمده است. می‌دانیم که بهترین رتبه‌ی ممکن، طبقه‌ی ۱۶ با احتمال برابر ۶۱۱۸٪ است. تیماری که دارای این طبقه است، پنجمین تیمار در جدول ۳ است. چنان‌که بیان شد مسائل این بخش مسائل فرضی است و جواب دقیق در مسئله‌ی نهاده شده، بدگونه‌ی که در همه‌ی تکرارهای ایجاد مسئله، به تیمار پنجم عدد ۱۶ و به بقیه‌ی تیمارها به طور تصادفی عدد بین ۱ تا ۱۵ به صورت غیرتکراری داده شده است. این رویه به دلیل داشتن جوابی دقیق برای بررسی الگوریتم‌های پیشنهادی طراحی شده است.

چنان‌که در جدول ۴ نشان می‌دهد که میانگین فاصله جواب‌های الگوریتم‌های ابتکاری و فراابتکاری پیشنهاد شده به ترتیب برابر ۳۷٪ و ۴۰٪ هست. این نتایج بیان‌گر این است که الگوریتم فراابتکاری جوابی بهتر از الگوریتم ابتکاری دارد. برای تحلیل بیشتر و مقایسه بهتر نتایج این جدول از آنالیز واریانس استفاده شده است. با توجه به آنالیز واریانس انجام‌شده توسط نرم‌افزار MATLAB7/۸ اختلاف میانگین روش فراابتکاری و ابتکاری پیشنهادی برابر ۰٪ و فاصله‌ی اطمینان ۹۵٪ برای این اختلاف نیز برابر ۰٪ می‌شده است. از آنجا که عدد صفر در این فاصله‌ی اطمینان قرار ندارد، میانگین‌های این دو روش با هم متفاوت‌اند. شکل ۲ بیان‌گر عملکرد بهتر روش فراابتکاری در بهینه‌سازی متغیر پاسخ رگرسیون لجستیک ترتیبی است.

در ادامه برای بررسی بیشتر الگوریتم فراابتکاری مسئله‌ی ۲ ایجاد شده، که برخلاف مسئله‌ی ۱ جواب دقیق آن نامشخص است. تعداد عوامل کنترلی و طبقه‌های مسئله‌ی ۲ همانند مسئله‌ی ۱ است. حدود بالا و پایین این مسئله شیوه مسئله‌ی ۱ است. مدل مسئله‌ی ۲ به طور کامل در ضمیمه‌ی ب آورده شده است. مسئله‌ی ۲ توسط الگوریتم فراابتکاری پیشنهادی به دلیل عملکرد بهتر نسبت به روش ابتکاری حل شده است (جدول ۵). پاسخ چهاردهمین اجرا از الگوریتم فراابتکاری در مقایسه با دیگر اجراهای بهتر است (جدول ۵). با توجه به همگرایی برعی از مقادیر این اجرا، به نظر می‌رسد می‌توان به جواب بهتری نیز دست یافت (جدول ۶).

با توجه به مقادیر جدول ۶، پس از حل فراابتکاری مسئله‌ی ۲، مقادیر احتمالی جدول ۷ برای طبقه‌های ترتیبی مسئله به دست آمد.

در جدول ۷ احتمال وقوع هریک از رتبه‌های تخصیصی به هر طبقه ارائه شده، و بیان می‌کند که رتبه‌ی ۱۶ برای پاسخ مسئله دارای بیشترین احتمال وقوع است.

جدول ۴. نتایج حل مسئله‌ی ۱ توسط الگوریتم‌های پیشنهادی.

فاصله با جواب دقیق (%)	زمان حل (ثانیه)	مقدار احتمال	طبقه جواب	عوامل کنترلی										اجرا	
				J	I	H	G	F	E	D	C	B	A		
۳۱,۴۳	۱,۴۷۲۴	۰,۴۱۹۵	۱۶	۱۴	۰,۱۱۹۰	۱	۳۹	۰,۷۶۵۲	۲۰	۰,۵۶۰۲	۰	۱۰,۱۹۸۵	۱۱۰	۱	
۳۴,۹۱	۱,۴۶۲۷	۰,۳۹۸۲	۱۶	۱۵	۰,۰۱۲۷	۱	۴۰	۰,۸۱۴۶	۲۵	۰,۸۶۹۲	۰	۱۰,۷۰۹۹	۱۵۱	۲	
۳۸,۱۳	۱,۴۶۸۶	۰,۳۷۸۵	۱۶	۱۵	۰,۰۱۷۴۰	۱	۳۶	۰,۸۳۵۶	۲۲	۰,۸۸۵۲	۰	۱۰,۲۸۶۴	۲۷۳	۳	
۳۷,۰۲	۱,۴۶۰۹	۰,۳۸۰۳	۱۶	۱۵	۰,۰۲۱۱۹	۱	۳۲	۰,۹۵۶۳	۲۰	۰,۹۳۲۸	۰	۱۰,۰۵۰۴۳	۱۶۲	۴	
۵۵,۵۴	۱,۴۶۵۱	۰,۲۷۲۰	۱۶	۱۰	۰,۰۵۲۶۱	۱	۳۷	۰,۸۵۵۵	۲۰	۰,۶۸۹۳	۰	۱۰,۰۱۵۰	۳۶۵	۵	
۳۷,۷۵	۱,۴۵۱۳	۰,۳۸۰۸	۱۶	۱۳	۰,۰۳۵۱۹	۱	۳۳	۰,۹۰۸۴	۲۰	۰,۹۸۴۰	۰	۱۰,۱۱۰۷	۲۰۹	۶	
۳۴,۲۴	۱,۴۵۴۳	۰,۴۰۲۳	۱۶	۱۵	۰,۰۳۴۴۶	۱	۳۷	۰,۹۵۷۶	۲۰	۰,۹۱۴۰	۰	۱۰,۴۵۵۸	۲۴۷	۷	
۳۲,۷۴	۱,۴۵۴۵	۰,۴۱۱۵	۱۶	۱۴	۰,۰۵۲۰۳	۱	۳۶	۰,۹۷۶۵	۲۱	۰,۸۹۱۱	۰	۱۰,۰۲۹۳	۲۲۸	۸	روش ابتکاری
۳۱,۸۲	۱,۴۵۶۷	۰,۴۱۷۱	۱۶	۱۵	۰,۰۳۶۴	۱	۳۸	۰,۸۹۷۱	۳۰	۰,۹۰۸۶	۰	۱۰,۱۲۶۵	۱۲۱	۹	
۳۶,۰۳	۱,۷۴۷۵	۰,۳۸۸۳	۱۶	۱۴	۰,۰۶۸۲۹	۱	۴۰	۰,۸۸۵۹	۲۸	۰,۹۴۶۷	۰	۱۰,۲۶۱۸	۱۰۸	۱۰	
۴۳,۲۰	۱,۴۶۱۷	۰,۳۴۷۵	۱۶	۱۵	۰,۰۳۲۹۴	۱	۳۶	۰,۹۸۵۹	۲۲	۰,۴۵۷۱	۰	۱۰,۳۹۴۶	۱۸۹	۱۱	
۳۹,۸۸	۱,۴۷۰۷	۰,۳۶۷۸	۱۶	۱۳	۰,۰۱۶۸۸	۱	۳۷	۰,۹۱۴۶	۲۵	۰,۵۲۹۷	۰	۱۰,۰۷۳۹	۱۶۱	۱۲	
۴۱,۱۴	۱,۴۶۰۷	۰,۳۶۰۱	۱۶	۱۲	۰,۰۶۴۹۱	۱	۳۴	۰,۹۴۵۸	۲۰	۰,۹۰۷۹	۰	۱۰,۰۰۳۲	۱۹۳	۱۳	
۳۸,۴۹	۱,۴۵۷۲	۰,۳۷۶۳	۱۶	۱۳	۰,۰۲۰۱	۱	۳۹	۰,۸۴۱۶	۲۸	۰,۹۷۷۹	۰	۱۰,۴۱۵۳	۱۹۸	۱۴	
۲۸,۳۱	۱,۴۷۲۲	۰,۴۳۸۶	۱۶	۱۵	۰,۰۱۱۶۸	۱	۴۰	۰,۸۲۵۶	۲۱	۰,۹۶۰۹	۰	۱۰,۰۶۰۲۹	۱۷۴	۱۵	
۳,۷۹۲	۱۲,۶۴۷۹	۰,۵۸۸۶	۱۶	۱۵	۰,۰۰۸۹	۱	۳۹	۰,۹۷۹	۲۰	۰,۹۸۲۵	۰	۱۰,۰۲۰۳	۱۰۳	۱	
۴,۸۰۴	۱۲,۶۱۸۷	۰,۵۸۲۱	۱۶	۱۵	۰,۰۱۸۲	۱	۳۹	۰,۹۸۴	۲۰	۰,۹۹۵۲	۰	۱۰,۰۱۹۶	۱۲۸	۲	
۲,۹۷۵	۱۲,۵۸۷۷	۰,۵۹۳۶	۱۶	۱۵	۰,۰۳۴۹	۱	۴۰	۰,۹۸	۲۰	۰,۹۸۸	۰	۱۰,۰۵۹۳	۱۰۱	۳	
۲,۷۹۵	۱۲,۷۰۶۲	۰,۵۹۴۷	۱۶	۱۵	۰,۰۱۶۲	۱	۴۰	۰,۹۸۰۵	۲۰	۰,۹۷۸۳	۰	۱۰,۰۰۰۴	۱۲۳	۴	
۱۲,۷۶۶	۱۲,۴۸۷۷	۰,۵۲۳۷	۱۶	۱۵	۰,۰۶۲۵	۱	۴۰	۰,۹۹۹۱	۲۰	۰,۹۹۴۸	۰	۱۰,۰۴۴۳	۱۰۵	۵	
۱۶,۸۳۵	۱۲,۵۸۰۶	۰,۵۰۸۸	۱۶	۱۵	۰,۰۴۳۵	۱	۳۳	۰,۹۹۰۴	۲۰	۰,۹۹۳۶	۰	۱۰,۰۲۴۵	۱۳۱	۶	
۱۰,۹۲	۱۲,۶۸۳۹	۰,۵۱۴۴	۱۶	۱۵	۰,۰۰۰۶	۱	۴۰	۰,۹۷۳۴	۲۰	۰,۹۸۳۳	۰	۱۰,۰۱۳۶	۱۰۱	۷	
۱,۹۴۵	۱۳,۷۱۰۹	۰,۵۹۹۹	۱۶	۱۵	۰,۰۳۸۲	۱	۴۰	۰,۹۹۳۷	۲۰	۰,۹۸۵۱	۰	۱۰,۰۰۸۴	۱۰۹	۸	روش فرآیند ابتکاری
۳,۰۴۷	۱۲,۷۱۰۶	۰,۵۹۰۱	۱۶	۱۵	۰,۰۰۰۲	۱	۴۰	۰,۹۳۷	۲۱	۰,۹۹۷	۰	۱۰,۰۰۲۴	۱۰۰	۹	
۱۳,۶۴۸	۱۲,۶۹۴۱	۰,۵۲۸۳	۱۶	۱۱	۰,۰۰۳۲	۱	۴۰	۰,۹۹۲۴	۲۰	۰,۹۸۴۱	۰	۱۰,۰۵۵۶	۱۰۶	۱۰	
۱۵,۹۸۶	۱۴,۳۸۲۱	۰,۵۱۴	۱۶	۱۵	۰,۰۲۸۳	۱	۳۳	۰,۹۹۳۵	۲۰	۰,۹۸۲۵	۰	۱۰,۰۰۲۵	۱۲۷	۱۱	
۶,۰۰۵	۱۴,۲۰۵۷	۰,۵۷۲	۱۶	۱۵	۰,۰۵۹۷	۱	۴۰	۰,۹۶۹۹	۲۰	۰,۸۷۶	۰	۱۰,۰۱۹	۱۱۷	۱۲	
۲,۲۳۹	۱۲,۹۶۰۴	۰,۵۹۸۱	۱۶	۱۵	۰,۰۳۰۷	۱	۴۰	۰,۹۸۹۹	۲۰	۰,۹۸۳۷	۰	۱۰,۰۱۳۱	۱۱۲	۱۳	
۳,۲۰۴	۱۳,۰۹۶۸	۰,۵۹۲۲	۱۶	۱۵	۰,۰۶۱۳	۱	۴۰	۰,۹۸۹۷	۲۰	۰,۹۹۱۶	۰	۱۰,۰۱۷۵	۱۲۱	۱۴	
۱,۳۵۷	۱۲,۹۶۸۴	۰,۶۰۳۵	۱۶	۱۵	۰,۰۰۰۴	۱	۴۰	۰,۹۷۷۷	۲۰	۰,۹۹۵۵	۰	۱۰	۱۰۸	۱۵	

جدول ۵. نتایج حل مسئله‌ی ۲ با استفاده از روش فرابنکاری پیشنهادی.

زمان حل (ثانیه)	مقدار احتمال	رتبه جواب	عوامل کنترلی									اجرا
			J	I	H	G	F	E	D	C	B	
۱۵,۴۶۷۳	۰,۲۱۹۲	۱۶	۱۰	۰,۹۹۳	۰	۳۰	۰,۰۲۲۴	۴۰	۰,۹۷۳۱	۱	۱۰,۰۰۸۶	۹۹۷
۱۵,۰۲۳۸	۰,۲۰۷۲	۱۶	۱۰	۰,۹۹۵۲	۱	۳۰	۰,۰۰۹۷	۴۰	۰,۹۹۸۲	۱	۱۰,۰۵۲۲	۹۸۵
۱۵,۵۲۹۱	۰,۲۲۱۴	۱۶	۱۰	۰,۹۹۷۷	۰	۳۰	۰,۰۰۱۵	۴۰	۰,۹۹۸۱	۱	۱۰,۰۰۱۹	۹۹۶
۱۵,۷۷۸	۰,۱۹۶۲	۱۶	۱۰	۰,۹۹۵۸	۰	۳۰	۰,۰۲۱۱	۴۰	-۰,۰۴۰۴	۱	۱۰,۱۳۵۸	۹۹۵
۱۶,۲۸۲۱	۰,۲۱۷	۱۶	۱۰	۰,۹۹۰۷	۰	۳۰	۰,۰۱۵۲	۴۰	۰,۸۹۸	۱	۱۰,۰۴۷۳	۹۹۱
۱۶,۰۵۲۸	۰,۲۱۷۹	۱۶	۱۰	۰,۹۸۹۱	۰	۳۰	۰,۰۰۵۳	۴۰	۰,۹۲۲۴	۱	۱۰,۰۲۱۸	۹۸۲
۱۵,۸۰۴۲	۰,۲۰۷۳	۱۶	۱۰	۰,۹۹۶۴	۱	۳۰	۰,۰۰۰۹	۴۰	۰,۹۴۶۱	۱	۱۰,۰۲۷۳	۹۹۰
۱۶,۵۰۲۷	۰,۲۱۵۵	۱۶	۱۰	۰,۹۹۸۹	۰	۳۰	۰,۰۲۵۴	۴۰	۰,۹۴۹۷	۱	۱۰,۰۷۲۵	۹۵۲
۱۷,۸۹۲	۰,۲۱۷	۱۶	۱۰	۰,۹۸۷۳	۰	۳۰	۰,۰۰۲۳	۴۰	۰,۹۸۳۴	۱	۱۰,۲۱۲۴	۹۹۲
۱۵,۶۰۲۲	۰,۲۰۴۳	۱۶	۱۰	۰,۹۴۷۱	۱	۳۰	۰,۰۲۵۷	۴۰	۰,۹۸۲۸	۱	۱۰,۰۲۸۲	۹۹۸
۱۷,۳۷۹۵	۰,۲۰۶۶	۱۶	۱۰	۰,۹۸۷۲	۱	۳۰	۰,۰۱۸۱	۴۰	۰,۹۶۰۲	۱	۱۰,۰۲۲۶	۹۹۹
۱۵,۰۳۷۳	۰,۲۰۶۶	۱۶	۱۰	۰,۹۷۷	۱	۳۰	۰,۰۱۱۸	۴۰	۰,۹۷۸۴	۱	۱۰,۰۳۵۶	۹۹۹
۱۵,۵۴۹۴	۰,۲۱۸۶	۱۶	۱۰	۰,۹۹۹۷	۱	۳۰	۰,۰۲۱۹	۴۰	۰,۹۹۴۸	۱	۱۰,۰۹۲۴	۹۹۳
۱۵,۳۲۸۴	۰,۲۲۰۴	۱۶	۱۰	۰,۹۹۷۷	۰	۳۰	۰,۰۱۲۸	۴۰	۰,۹۸۶۲	۱	۱۰,۰۰۲۷	۹۹۶
۱۶,۸۸۷۲	۰,۲۱۷۳	۱۶	۱۰	۰,۹۹۸	۰	۳۰	۰,۰۳۲۵	۴۰	۰,۹۹۲۳	۱	۱۰,۱۱۷۹	۹۹۰
												۱۵

انتخاب شده که در جدول ۸ حدود در نظر گرفته شده برای هر ویژگی ارائه شده است.

طراحی آزمایش این مسئله توسط نرم‌افزار Minitab version 16,۴ با تیمار صورت گرفت. سپس این طرح آزمایشی در قالب پرسشنامه‌ی در اختیار دانشجویان قرار داده شد و از آن‌ها خواسته شد که به هر تیمار رتبه‌ی ۱ تا ۸ را تخصیص دهند (به تیماری با بهترین ویژگی رتبه‌ی ۸ و به تیماری با بدترین ویژگی رتبه‌ی ۱ تخصیص داده شود). پس از جمع‌آوری نظرات ۳۱ نفر از دانشجویان کارشناسی ارشد (تعداد تکرار آزمایش)، و با درنظر گرفتن محدودیت‌هایی از قبیل بودجه و مشخص شد که احتمال وقوع رتبه‌ی ۸ برای متغیر پاسخ بسیار پایین بوده و نمی‌توان رتبه‌ی ۸ را رتبه‌ی برتر نامید. به همین منظور باید رتبه‌ی ۷ را رتبه‌ی برتر اعلام کرد. احتمال وقوع این رتبه در مسئله‌ی مورد نظر با توجه به محدودیت‌ها و توسط روش فرابنکاری شبیه‌سازی عملیات حرارتی محاسبه شده است. جدول ۹ سناریوهای مختلفی از مشخصات سایت کامپیوترا، رتبه‌ی برتر و احتمال وقوع آن رتبه برای هر تیمار، هزینه‌ی مورد نیاز با توجه به مشخصات و زمان حل را نشان می‌دهد که می‌توان با استفاده از این جدول گام مؤثیری در بهبود رضایت‌مندی دانشجویان برداشت. هزینه‌های درنظر گرفته شده عبارت است از:

- هزینه‌ی هر کیلویایت افزایش سرعت دانلود در سال: ۶,۰۰۰,۰۰۰ ریال
- هزینه‌ی خرید هر رایانه: ۸,۰۰۰,۰۰۰ ریال
- هزینه‌ی خرید هر چاپگر: ۲,۰۰۰,۰۰۰ ریال

هدف از بیان جدول ۹، بررسی احتمال وقوع رتبه‌ی برتر با درنظر گرفتن حالات مختلف هریک از متغیرهای کنترلی و ارائه راهکاری برای بهبود عملکرد سایت به مسئولین است. به عبارت دیگر، اگر مسئولین بتوانند وضعیتی مشابه سناپیوی ۱۵

جدول ۶. مقادیر به دست آمده پس از همگرایی برای عوامل کنترلی مسئله‌ی ۲.

J	I	H	G	F	E	D	C	B	A
۱۰	۱	۰	۳۰	۰	۴۰	۱	۱	۱۰	۱۰۰۰

جدول ۷. مقادیر احتمالی رتبه‌ها.

شماره طبقه	مقدار احتمال	شماره طبقه	مقدار احتمال	شماره طبقه					
۹	۰,۰۴۰۶	۱۰	۰,۰۴۹۰	۱۱	۰,۰۵۹۷	۱۲	۰,۰۷۴۴	۱۳	۰,۰۹۳۳
۱۱	۰,۰۱۲۱	۱۲	۰,۰۱۴۱	۱۳	۰,۰۱۶۴	۱۴	۰,۰۱۹۱	۱۵	۰,۰۲۱۹
۱۲	۰,۰۱۴۱	۱۳	۰,۰۱۶۴	۱۴	۰,۰۲۱۹	۱۵	۰,۰۲۵۲	۱۶	۰,۰۲۹۱
۱۳	۰,۰۱۶۴	۱۴	۰,۰۲۱۹	۱۵	۰,۰۲۹۱	۱۶	۰,۰۳۴۰		

۷. مطالعه‌ی کاربردی در زمینه‌ی بهینه‌سازی متغیر

پاسخ در مدل رگرسیون لجستیک ترتیبی

این مطالعه بر روی بهینه‌سازی رضایت‌مندی دانشجویان کارشناسی ارشد از عملکرد سایت کامپیوترا یک دانشگاه انجام شد. هدف از این کار، یافتن متغیرهای تأثیرگذار بر کارایی و عملکرد سایت و سپس بهبود این عوامل به منظور بهینه‌سازی پاسخ -- رضایت‌مندی دانشجویان -- است. تعداد ۶ متغیر کنترلی براساس نظر افراد خبره

جدول ۸. حدود در نظر گرفته شده برای هر متغیر کنترلی.

نحوه پاسخگویی مسئولان سایت	طبقه	تعداد مکان‌های نوت بوک	تعداد چاپگر	سرعت دانلود (Kb/s)	تعداد رایانه		
						حد بالا	حد پایین
مناسب	دوم	۱۰	۲	۱۰۰۰	۴۵		
نامناسب	اول	۴	۱	۲۰۰	۱۲		

جدول ۹. ستاریوی مختلف مسئله و بهینه‌سازی آنها.

جواب بهینه مسئله با روش OL-SA										وروودی مسئله		سناریو
زمان حل (S)	هزینه وضعیت (ریال)	هزینه وضعیت (رتبه)	احتمال برتر	نحوه پاسخگویی مسئولان سایت	طبقه	تعداد مکان‌های نوت بوک	تعداد چاپگر	سرعت دانلود (Kb/s)	تعداد رایانه	بیشترین هزینه رایانه (ریال)	حداکثر تعداد رایانه و نوت بوک	
۱۲۲/۳۱۸۱۷۴	۴۴۹۶۰۰۰۰۰	۷	۰,۵۷۲۲	مناسب	دوم	۱۰	۲	۷۲۲	۲۰	۴۰۰۰۰۰۰۰	۳۰	۱
۱۵۷/۸۳۹۳۳۱	۴۴۹۸۰۰۰۰۰	۷	۰,۵۷۳۳	مناسب	دوم	۱۰	۲	۷۲۱	۲۱	۴۰۰۰۰۰۰۰	۳۵	۲
۱۲۶/۲۶۵۰۳۲	۴۴۶۰۰۰۰۰۰	۷	۰,۵۷۳۲	مناسب	دوم	۸	۲	۷۰۴	۲۹	۴۰۰۰۰۰۰۰	۴۰	۳
۱۲۷/۵۲۷۷۵۴	۴۹۷۲۰۰۰۰۰	۷	۰,۵۷۲۳	مناسب	دوم	۸	۲	۷۹۶	۲۴	۵۰۰۰۰۰۰۰۰	۳۰	۴
۱۶۵/۲۶۳۰۰۷	۴۹۷۲۰۰۰۰۰	۷	۰,۵۷۳۱	مناسب	دوم	۱۰	۲	۸۰۴	۱۸	۵۰۰۰۰۰۰۰۰	۳۵	۵
۱۲۷/۸۲۵۰۲۰	۴۹۵۸۰۰۰۰۰	۷	۰,۵۷۳۱	مناسب	دوم	۱۰	۲	۸۰۳	۱۷	۵۰۰۰۰۰۰۰۰	۴۰	۶
۱۳۳/۳۷۲۸۸۴	۵۴۷۴۰۰۰۰۰	۷	۰,۵۷۳۲	مناسب	دوم	۱۰	۲	۸۹۳	۱۴	۵۰۰۰۰۰۰۰۰	۳۰	۷
۱۶۶/۲۲۷۸۷۷	۵۴۸۶۰۰۰۰۰	۷	۰,۵۷۳۲	مناسب	دوم	۹	۲	۸۹۱	۱۷	۵۰۰۰۰۰۰۰۰	۳۵	۸
۶۵/۶۴۳۶۵۴	۵۴۸۸۰۰۰۰۰	۸	۰,۵۱۷۰	مناسب	دوم	۱۰	۲	۸۷۴	۳۰	۵۰۰۰۰۰۰۰۰	۴۰	۹
۱۳۷/۹۹۶۳۴۰	۵۶۷۲۰۰۰۰۰	۷	۰,۵۷۳۲	مناسب	دوم	۸	۲	۹۱۸	۲۰	۶۰۰۰۰۰۰۰۰	۳۰	۱۰
۸۴/۲۴۹۵۰۲	۶۰۰۰۰۰۰۰۰	۸	۰,۴۹۴۶	مناسب	دوم	۱۰	۲	۹۶۶	۲۵	۶۰۰۰۰۰۰۰۰	۳۵	۱۱
۶۶/۴۷۸۵۴۲	۵۹۹۸۰۰۰۰۰	۸	۰,۵۹۷۲	مناسب	دوم	۱۰	۲	۹۵۹	۳۰	۶۰۰۰۰۰۰۰۰	۴۰	۱۲
۱۲۲/۴۵۷۶۳۲	۶۱۲۲۰۰۰۰۰	۷	۰,۵۷۳۱	مناسب	دوم	۸	۲	۹۹۷	۱۷	۶۰۰۰۰۰۰۰۰	۳۰	۱۳
۴۴/۳۲۲۱۵۴	۶۲۴۴۰۰۰۰۰	۸	۰,۵۲۷۲	مناسب	دوم	۱۰	۲	۱۰۰۰	۲۵	۶۰۰۰۰۰۰۰۰	۳۵	۱۴
۲۲/۲۳۴۳۵۴	۶۲۴۴۰۰۰۰۰	۸	۰,۶۳۴۴	مناسب	دوم	۱۰	۲	۱۰۰۰	۳۰	۶۰۰۰۰۰۰۰۰	۴۰	۱۵

بهتر و نزدیک به جواب دقیق را تولید می‌کند. اما نتایج حاصل از روش ابتکاری پیشنهادی از درجه اطمینان بالایی برخوردار نیست و بنا برایان می‌توان گفت در صورتی که اندازه‌ی مسئله بزرگ باشد و امکان استفاده از روش‌های دقیق برای حل و بهینه‌سازی وجود نداشته باشد (به دلیل صرف زمان بسیار زیاد)، می‌توان از روش‌های فراابتکاری برای رسیدن به جوابی نزدیک به جواب بهینه در کوتاه‌ترین زمان استفاده کرد.

برای تحقیقات آینده می‌توان از روش‌های فراابتکاری برای تخمین و بهبود ضرایب رگرسیونی که یکی دیگر از روش‌های بهینه‌سازی رگرسیون لجستیک ترتیبی است، استفاده کرد. روش ارائه شده در این مطالعه، تخمین و بهبود متغیرهای کنترلی به منظور بهینه‌کردن متغیر پاسخ با استفاده از روش فراابتکاری بوده است، در حالی که می‌توان با

در سایت مورد نظر ایجاد کنند، آنگاه تیمار با رتبه‌ی ۸ با احتمال ۶۳/۴۴ استفاده از رضایت‌مندی دانشجویان از کارایی عملکرد سایت کامپیوتر بالا خواهد رفت.

۸. نتیجه‌گیری

در این تحقیق بهینه‌سازی متغیر پاسخ با تعیین و بهبود مقادیر متغیرهای کنترلی با استفاده از مدل رگرسیون لجستیک ترتیبی انجام شده است. نتایج حاصل از دو روش نشان می‌دهد که روش فراابتکاری پیشنهادی به دلیل تعیین از یک منطق کلان برای حرکت و یافتن برای ادامه‌ی مسیر و نزدیک شدن به نقطه‌ی بهینه، جواب‌های

مجموعه‌های ذی صلاح، نظیر نظام مهندسی، در تأیید طراحی ساختمان‌ها برای رتبه‌بندی وضعیت ساختمان‌ها در مقاومت در برابر زلزله مورد استفاده قرار گیرد. همچنین می‌توان به توسعه‌ی خدمات جدید در شرکت‌های بیمه و بانک‌ها با استفاده از شیوه‌ی رگرسیون لجستیک اشاره کرد.

تخمین و بهبود ضرایب رگرسیونی (ضرایب متغیرهای کتترلی) که اثر مستقیم بر مقدار پاسخ دارد نیز به بهینه‌سازی متغیر پاسخ پرداخت. این کار را می‌توان با روش‌های فرالاتکاری نیز انجام داد. یکی دیگر از کاربردهای این روش پیش‌بینی میزان مقاومت ساختمان‌های جدیدالاحداث در برابر زلزله است که در آن صورت می‌تواند توسط

پابنوشت‌ها

1. ratio & interval
2. nominal & ordinal
3. ordinal logistic regression
4. non parametric ANOVA
5. Binary logistic regression
6. nominal logistic regression
7. residual
8. odds ratio
9. Regression coefficients
10. fractional factorial design

منابع (References)

1. Arthur, B. Yeh; Longcheen, H. and Yu-Mei Li, b. "Profile monitoring for a binary response", *IIE Transactions*, **41**, pp. 931-941 (2009).
2. Sharma, S., *Applied Multivariate Techniques*, University of South Calorina (1996).
3. Alan, A., *An Introduction to Categorical Data Analysis*, Department of Statistics University of Florida Gainesville, Florida, Second Edition (2007).
4. Walker, S.H. and Duncan, D.B. "Estimation of the probability of an event as a function of several independent variables", *Biometrika*, **54**, pp. 167-179 (1967).
5. Cullagh, M.C., *Regression Model for Ordinal Data (with Discussion)*, JR Statis Soc Series B (1980).
6. Feinberg, B. "Analysis of cross-classified data", Cambridge: MIT Press (1980).
7. Cox, C. and Chuang, C.A. "Comparison of Chi-square partitioning and two logit analysis of ordinal pain data from a pharmecutical study", *Statistical Medicine*, **3**, pp. 273-285 (1984).
8. Peterson, B.L. and Harrell, F.E. "Partial proportional odds models for ordinal response variable", *Appl Stat*, **39**, pp. 205-217 (1990).
9. Brazer, S.R.; Pancotto, F.S.; Long, T.L. and Harrell, F.E. "Using ordinal logistic regression to estimate the likelihood of colorectal neoplasia", *Journal of Clinical Epidemiology*, **44**, pp. 1263-1270 (1991).
10. Knapp, T.R. "Focus on quantitative methods: The analysis of the data for two-way contingency tables", *Research in Nursing and Health*, **22**, pp. 263-268 (1999).
11. Huang, B.; Biro, F.M. and Dorn, L.D. "Determination of relative timing of pubertal maturation through ordinal logistic modeling: Evaluation of growth and timing parameters", *Journal of Adolescent Health*, **45**, pp. 383-388 (2009).
12. Lall, R.; Campbell, M.; Walters, S. and Morgan, K. "A review of ordinal regression models applied on health-related quality of life assesment", *Statistical Methods Medical*, **11**, pp. 49-67 (2002).
13. Lawsonl, C. and Montgomery, D.C. "logistic regression analysis of costumer satisfaction data", *Quality and Reliability Engineering International*, **22**, pp. 971-984 (2006).
14. Zhou, F.; Wu, D.; Yang, X. and Jiao, J. "Ordinal logistic regression for affective product design", *Proceedings of the IEEE IEEM*, pp. 1986-1990 (2008).
15. Grigoroudis, E.; Nikolopoulou, G. and Zopounidis, C. "Customer satisfaction barometers and economic development: An explorative ordinal regression analysis", *Total Quality Management & Business Excellence*, **19**, pp. 441-460 (2008).
16. Ezgi Aktar, D.; Anagun, A.S. and Koksal,G. "Determination of optimal product styles by ordinal logistic regression versus conjoint analysis for kitchen faucets", *International Journal of Industrial Ergonomics*, **39**, pp. 866-875 (2009).
17. Yang, Z.; Gu, X.S. and Liang, X.Y. "Genetic algoriyhm-least squares support integrated conductivity", *material and design*, **31**, pp. 1042-1049 (2010).
18. Montgomery, D.C., *Design and Analysis of Experiments*, John Wiley & Sons (2005).
19. Metropolis, N.; Rosenbluth, A.; Rosenbluth, M.; Teller, A. and Teller, M. "Equation of state calculations for fast computing machines", *Journal of Chemical*, **21**, pp. 1087-1092 (1953).
20. Zheng, G. and Zhang, P. "Meta-heuristic algorithms for parameter estimation of semi-parametric linear regression models", *Computational Statistics & Data Analysis*, **51**, pp. 801-808 (2006).
21. Kang, L.S.; Xie, Y. and You, S.Y. "Non-numerical parallel algorithm-simulated annealing algorithm", Science Press, Beijing (1998).

ضمیمه‌ی الف)

مدل رگرسیون لجستیک ترتیبی مسئله ۱ به صورت زیر آمده است. این معادلات غیرخطی بوده و تعداد آن برابر با تعداد رتبه هاست.

$$\sum_{i=1}^v P_i = \frac{\exp(-\delta_1 x_1 - \delta_2 x_2 - \dots - \delta_v x_v + \theta_0 + \theta_1 x_1 + \theta_2 x_2 + \dots + \theta_{v-1} x_{v-1})}{1 + \exp(-\delta_1 x_1 - \delta_2 x_2 - \dots - \delta_v x_v + \theta_0 + \theta_1 x_1 + \theta_2 x_2 + \dots + \theta_{v-1} x_{v-1})}$$

$$\sum_{i=1}^k P_i = \frac{\exp(-\delta_0 2179 + \dots + \delta_9 1413x_9 + \dots + \delta_{15} 5550 28x_{15} + \dots + \delta_{16} 746792x_{16} - \dots + \delta_{17} 7719x_{17} + \dots + \delta_{18} 292438x_{18} - \dots + \delta_{19} 919671x_{19} - \dots + \delta_{20} 746792x_{20} - \dots + \delta_{21} 7719x_{21} + \dots + \delta_{22} 292438x_{22} - \dots + \delta_{23} 919671x_{23} - \dots + \delta_{24} 471213x_{24} - \dots + \delta_{25} 862866x_{25} + \dots + \delta_{26} 454930x_{26} - \dots + \delta_{27} 956x_{27})}{1 + \exp(-\delta_0 2179 + \dots + \delta_9 1413x_9 + \dots + \delta_{15} 5550 28x_{15} + \dots + \delta_{16} 746792x_{16} - \dots + \delta_{17} 7719x_{17} + \dots + \delta_{18} 292438x_{18} - \dots + \delta_{19} 919671x_{19} - \dots + \delta_{20} 746792x_{20} - \dots + \delta_{21} 7719x_{21} + \dots + \delta_{22} 292438x_{22} - \dots + \delta_{23} 919671x_{23} - \dots + \delta_{24} 471213x_{24} - \dots + \delta_{25} 862866x_{25} + \dots + \delta_{26} 454930x_{26} - \dots + \delta_{27} 956x_{27})} \quad (18)$$

$$\sum_{i=1}^4 P_i = \frac{\exp(-4,74838 + 0,0014133x_1 + 0,055028x_2 + 0,746792x_3 - 0,907719x_4 + 0,0292438x_5 - 0,919671x_6 - 0,746792x_7 - 0,907719x_8 + 0,0292438x_9 - 0,919671x_{10} + 0,0471213x_{11} - 0,862866x_{12} + 0,404930x_{13} - 0,709058x_{14})}{1 + \exp(-4,74838 + 0,0014133x_1 + 0,055028x_2 + 0,746792x_3 - 0,907719x_4 + 0,0292438x_5 - 0,919671x_6 - 0,746792x_7 - 0,907719x_8 + 0,0292438x_9 - 0,919671x_{10} + 0,0471213x_{11} - 0,862866x_{12} + 0,404930x_{13} - 0,709058x_{14})}$$

$$\sum_{i=1}^1 P_i = \frac{\exp(-\gamma_1 + \gamma_2 x_1 + \dots + \gamma_n x_n)}{1 + \exp(-\gamma_1 + \gamma_2 x_1 + \dots + \gamma_n x_n)}$$

$$\sum_{i=1}^{11} P_i = \frac{\exp(-\gamma_1 10562 + \gamma_2 14132 x_1 + \gamma_3 5550 28 x_2 + \dots + \gamma_{11} 746792 x_{11} - \gamma_{12} 7719 x_{12} + \dots + \gamma_{21} 292428 x_{21} - \gamma_{22} 919671 x_{22} - \dots - \gamma_{31} 746792 x_{31} - \gamma_{32} 7719 x_{32} + \dots + \gamma_{41} 292428 x_{41} - \gamma_{42} 919671 x_{42} - \dots - \gamma_{51} 471213 x_{51} - \gamma_{52} 862866 x_{52} + \dots + \gamma_{53} 454930 x_{53} - \gamma_{54} 70 956 x_{54})}{\gamma_{11} 471213 x_{11} - \gamma_{12} 862866 x_{12} + \dots + \gamma_{13} 454930 x_{13} - \gamma_{14} 70 956 x_{14}} \quad (11)$$

$$\sum_{i=1}^{11} P_i = \frac{\exp(-3.79636 + 0.14133x_1 + 0.55028x_2 + 0.746792x_3 - 0.919671x_4 - 0.746792x_5 - 0.919671x_6 - 0.919671x_7 + 0.2924438x_8 - 0.919671x_9 - 0.919671x_{10})}{1 + \exp(-3.79636 + 0.14133x_1 + 0.55028x_2 + 0.746792x_3 - 0.919671x_4 - 0.919671x_5 - 0.919671x_6 - 0.919671x_7 + 0.2924438x_8 - 0.919671x_9 - 0.919671x_{10})}$$

$$\sum_{i=1}^{13} P_i = \frac{\exp(-3.35648 + 0.0014133x_1 + 0.055028x_2 + 0.746792x_3 - 0.807719x_4 + 0.2924438x_5 - 0.919671x_6 - 0.746792x_7 - 0.807719x_8 + 0.2924438x_9 - 0.919671x_{10} - 0.471213x_{11} - 0.862866x_{12} + 0.454930x_{13} - 0.70956x_{14})}{1 + \exp(-3.35648 + 0.0014133x_1 + 0.055028x_2 + 0.746792x_3 - 0.807719x_4 + 0.2924438x_5 - 0.919671x_6 - 0.746792x_7 - 0.807719x_8 + 0.2924438x_9 - 0.919671x_{10} - 0.471213x_{11} - 0.862866x_{12} + 0.454930x_{13} - 0.70956x_{14})} \quad (13)$$

$$P_1 = \frac{\exp(-\gamma_1 A^2 x_1 + \dots + \gamma_{10} A^2 x_{10})}{1 + \exp(-\gamma_1 A^2 x_1 + \dots + \gamma_{10} A^2 x_{10})}$$

$$\sum_{i=1}^r P_i = \frac{\exp(-\gamma_0 \gamma_1 + \dots + \gamma_r x_r + \gamma_{r+1} x_{r+1} + \dots + \gamma_{r+s} x_{r+s})}{1 + \exp(-\gamma_0 \gamma_1 + \dots + \gamma_r x_r + \gamma_{r+1} x_{r+1} + \dots + \gamma_{r+s} x_{r+s})}$$

$$\sum_{i=1}^r P_i = \frac{\exp(-\theta_1 x_1 - \dots - \theta_r x_r + \theta_0)}{1 + \exp(-\theta_1 x_1 - \dots - \theta_r x_r + \theta_0)} = \frac{\exp(-\theta_1 x_1 - \dots - \theta_r x_r + \theta_0)}{\exp(\theta_1 x_1 + \dots + \theta_r x_r + \theta_0) + \exp(-\theta_1 x_1 - \dots - \theta_r x_r + \theta_0)}$$

$$\sum_{i=1}^{\delta} P_i = \frac{\exp(-\gamma_1 x_1 - \dots - \gamma_{\delta} x_{\delta})}{1 + \exp(-\gamma_1 x_1 - \dots - \gamma_{\delta} x_{\delta})}$$

$$\sum_{i=1}^s P_i = \frac{\exp(-\gamma_3 5998 - \gamma_4 1000 321x_1 + \gamma_5 10872346x_2 - \gamma_6 154834x_3 - \gamma_7 127935x_4 - \gamma_8 26950x_5 + \gamma_9 354796x_6 + \gamma_{10} 154834x_7 - \gamma_{11} 127935x_8 - \gamma_{12} 26950x_9 + \gamma_{13} 354796x_{10} + \gamma_{14} 702271x_7 + \gamma_{15} 772433x_8 - \gamma_{16} 336932x_9 + \gamma_{17} 526109x_{10})}{1 + \exp(-\gamma_3 5998 - \gamma_4 1000 321x_1 + \gamma_5 10872346x_2 - \gamma_6 154834x_3 - \gamma_7 127935x_4 - \gamma_8 26950x_5 + \gamma_9 354796x_6 + \gamma_{10} 154834x_7 - \gamma_{11} 127935x_8 - \gamma_{12} 26950x_9 + \gamma_{13} 354796x_{10} + \gamma_{14} 702271x_7 + \gamma_{15} 772433x_8 - \gamma_{16} 336932x_9 + \gamma_{17} 526109x_{10})}$$

$$\sum_{i=1}^v P_i = \frac{\exp(-\gamma_1 x_1 - \dots - \gamma_v x_v)}{1 + \exp(-\gamma_1 x_1 - \dots - \gamma_v x_v)}$$

$$\sum_{i=1}^k P_i = \frac{\exp(-\gamma_0 6916 - \gamma_1 000321x_1 + \gamma_2 872346x_2 - \dots)}{1 + \exp(-\gamma_0 6916 - \gamma_1 000321x_1 + \gamma_2 872346x_2 - \dots) + \exp(\gamma_0 154834x_2 - \gamma_1 127935x_4 - \gamma_2 26950x_5 + \gamma_3 354796x_6 + \gamma_4 154834x_2 - \gamma_5 127935x_4 - \gamma_6 26950x_5 + \gamma_7 354796x_6 + \dots) + \exp(\gamma_0 70 2271x_7 + \gamma_1 724433x_8 - \gamma_2 33693x_9 + \gamma_3 526105x_{10}) + \exp(\gamma_0 70 2271x_7 + \gamma_1 724433x_8 - \gamma_2 33693x_9 + \gamma_3 526105x_{10})}$$

$$\sum_{i=1}^9 P_i = \frac{\exp(-\gamma_1 x_1 - \gamma_2 x_2 - \dots - \gamma_9 x_9)}{1 + \exp(-\gamma_1 x_1 - \gamma_2 x_2 - \dots - \gamma_9 x_9) + \exp(\gamma_1 x_1 + \gamma_2 x_2 + \dots + \gamma_9 x_9)}$$

$$\sum_{i=1}^{10} P_i = \frac{\exp(-2,052013 - 0,000221x_1 + 0,08722346x_2 - 0,1048234x_3 - 0,127935x_4 - 0,26950x_5 + 0,354796x_6 + 0,526109x_{10})}{1 + \exp(-2,052013 - 0,000221x_1 + 0,08722346x_2 - 0,1048234x_3 - 0,127935x_4 - 0,26950x_5 + 0,354796x_6 + 0,526109x_{10})}$$

$$\sum_{i=1}^{11} P_i = \frac{\exp(-2,24532 - 0,000321x_1 + 0,0872346x_2 - 0,154834x_3 - 0,127935x_4 - 0,26950x_5 + 0,354796x_6 + 0,154834x_7 - 0,127935x_8 - 0,26950x_9 + 0,354796x_{10} + 0,0702271x_{11} + 0,0724433x_8 - 0,336932x_9 + 0,0526109x_{10})}{1 + \exp(-2,24532 - 0,000321x_1 + 0,0872346x_2 - 0,154834x_3 - 0,127935x_4 - 0,26950x_5 + 0,354796x_6 + 0,154834x_7 - 0,127935x_8 - 0,26950x_9 + 0,354796x_{10} + 0,0702271x_{11} + 0,0724433x_8 - 0,336932x_9 + 0,0526109x_{10})} \quad (11)$$

$$\sum_{i=1}^{14} P_i = \frac{\exp(-2,773 \cdot 79 + 0,0014132x_1 + 0,000028x_2 + 0,746792x_3 - 0,807719x_4 + 0,0292428x_5 - 0,919671x_6 - 0,746792x_7 - 0,807719x_8 + 0,0292428x_9 - 0,919671x_{10} - 0,0471213x_{11} - 0,862866x_{12} + 0,454930x_{13} - 0,70908x_{14} - 0,0471213x_{15} - 0,862866x_{16} + 0,454930x_{17} - 0,70908x_{18})}{1 + \exp(-2,773 \cdot 79 + 0,0014132x_1 + 0,000028x_2 + 0,746792x_3 - 0,807719x_4 + 0,0292428x_5 - 0,919671x_6 - 0,746792x_7 - 0,807719x_8 + 0,0292428x_9 - 0,919671x_{10} - 0,0471213x_{11} - 0,862866x_{12} + 0,454930x_{13} - 0,70908x_{14} - 0,0471213x_{15} - 0,862866x_{16} + 0,454930x_{17} - 0,70908x_{18})}$$

$$\sum_{i=1}^{10} P_i = \frac{\exp(-1,39187 + 0,00141133x_1 + 0,055028x_2 + 0,746792x_3 - 0,807719x_4 + 0,02924238x_5 - 0,919671x_6 - 0,746792x_7 - 0,807719x_8 + 0,02924238x_9 - 0,919671x_{10} - 0,471213x_{11} - 0,862866x_{12} + 0,454930x_{13} - 0,709058x_{14} - 0,471213x_{15} - 0,862866x_{16} + 0,454930x_{17} - 0,709058x_{18})}{1 + \exp(-1,39187 + 0,00141133x_1 + 0,055028x_2 + 0,746792x_3 - 0,807719x_4 + 0,02924238x_5 - 0,919671x_6 - 0,746792x_7 - 0,807719x_8 + 0,02924238x_9 - 0,919671x_{10} - 0,471213x_{11} - 0,862866x_{12} + 0,454930x_{13} - 0,709058x_{14} - 0,471213x_{15} - 0,862866x_{16} + 0,454930x_{17} - 0,709058x_{18})} \quad (15)$$

$$\sum_{i=1}^{\infty} P_i = 1 \quad (19)$$

ضمیمه‌ی ب)

مدل رگرسیون لجستیک ترتیبی مسئله دوم:

$$\sum_{i=1}^r P_i = \frac{\exp(-\delta_1 11325 - \dots + \delta_{10} 221x_1 + \dots + \delta_{19} 8722346x_{19} - \dots + \delta_{28} 154834x_{28} - \dots + \delta_{37} 127935x_{37} - \dots + \delta_{46} 26950x_{46} + \dots + \delta_{55} 354794x_{55} + \dots + \delta_{64} 154834x_{64} - \dots + \delta_{73} 127935x_{73} - \dots + \delta_{82} 26950x_{82} + \dots + \delta_{91} 354794x_{91} + \dots + \delta_{100} 2271x_{100} + \dots + \delta_{109} 722433x_{109} - \dots - \delta_{118} 33693x_{118} + \dots + \delta_{127} 526109x_{127})}{1 + \exp(-\delta_1 11325 - \dots + \delta_{10} 221x_1 + \dots + \delta_{19} 8722346x_{19} - \dots + \delta_{28} 154834x_{28} - \dots + \delta_{37} 127935x_{37} - \dots + \delta_{46} 26950x_{46} + \dots + \delta_{55} 354794x_{55} + \dots + \delta_{64} 154834x_{64} - \dots + \delta_{73} 127935x_{73} - \dots + \delta_{82} 26950x_{82} + \dots + \delta_{91} 354794x_{91} + \dots + \delta_{100} 2271x_{100} + \dots + \delta_{109} 722433x_{109} - \dots - \delta_{118} 33693x_{118} + \dots + \delta_{127} 526109x_{127})}$$

$$\sum_{i=1}^r P_i = \frac{\exp(-\gamma_1 x_1 - \dots - \gamma_r x_r)}{1 + \exp(-\gamma_1 x_1 - \dots - \gamma_r x_r)} = \frac{\exp(-\gamma_1 x_1 - \dots - \gamma_r x_r)}{\exp(\gamma_1 x_1 + \dots + \gamma_r x_r) + \exp(-\gamma_1 x_1 - \dots - \gamma_r x_r)}$$

$$\sum_{i=1}^{12} P_i = \frac{\exp(-1, 0, 3471 - 0, 0, 0, 0, 321x_1 + 0, 0, 0, 872346x_2 - 0, 104834x_3 - 0, 127935x_4 - 0, 0, 2695x_5 + 0, 354796x_6 + 0, 104834x_7 - 0, 127935x_8 - 0, 0, 2695x_9 + 0, 354796x_{10} + 0, 0, 70, 2271x_7 + 0, 0, 72433x_8 - 0, 33693x_9 + 0, 0, 526109x_{10})}{1 + \exp(-1, 0, 3471 - 0, 0, 0, 0, 321x_1 + 0, 0, 0, 872346x_2 - 0, 104834x_3 - 0, 127935x_4 - 0, 0, 2695x_5 + 0, 354796x_6 + 0, 104834x_7 - 0, 127935x_8 - 0, 0, 2695x_9 + 0, 354796x_{10} + 0, 0, 70, 2271x_7 + 0, 0, 72433x_8 - 0, 33693x_9 + 0, 0, 526109x_{10})} \quad (14)$$

$$\sum_{i=1}^{12} P_i = \frac{\exp(-0, 243055 - 0, 0, 0, 0, 321x_1 + 0, 0, 0, 872346x_2 - 0, 104834x_3 - 0, 127935x_4 - 0, 0, 2695x_5 + 0, 354796x_6 + 0, 104834x_7 - 0, 127935x_8 - 0, 0, 2695x_9 + 0, 354796x_{10} + 0, 0, 70, 2271x_7 + 0, 0, 72433x_8 - 0, 33693x_9 + 0, 0, 526109x_{10})}{1 + \exp(-0, 243055 - 0, 0, 0, 0, 321x_1 + 0, 0, 0, 872346x_2 - 0, 104834x_3 - 0, 127935x_4 - 0, 0, 2695x_5 + 0, 354796x_6 + 0, 104834x_7 - 0, 127935x_8 - 0, 0, 2695x_9 + 0, 354796x_{10} + 0, 0, 70, 2271x_7 + 0, 0, 72433x_8 - 0, 33693x_9 + 0, 0, 526109x_{10})} \quad (15)$$

$$\sum_{i=1}^{12} P_i = 1 \quad (16)$$

$$\sum_{i=1}^{12} P_i = \frac{\exp(-1, 92096 - 0, 0, 0, 0, 321x_1 + 0, 0, 0, 872346x_2 - 0, 104834x_3 - 0, 127935x_4 - 0, 0, 2695x_5 + 0, 354796x_6 + 0, 104834x_7 - 0, 127935x_8 - 0, 0, 2695x_9 + 0, 354796x_{10} + 0, 0, 70, 2271x_7 + 0, 0, 72433x_8 - 0, 33693x_9 + 0, 0, 526109x_{10})}{1 + \exp(-1, 92096 - 0, 0, 0, 0, 321x_1 + 0, 0, 0, 872346x_2 - 0, 104834x_3 - 0, 127935x_4 - 0, 0, 2695x_5 + 0, 354796x_6 + 0, 104834x_7 - 0, 127935x_8 - 0, 0, 2695x_9 + 0, 354796x_{10} + 0, 0, 70, 2271x_7 + 0, 0, 72433x_8 - 0, 33693x_9 + 0, 0, 526109x_{10})} \quad (12)$$

$$\sum_{i=1}^{12} P_i = \frac{\exp(-1, 03738 - 0, 0, 0, 0, 321x_1 + 0, 0, 0, 872346x_2 - 0, 104834x_3 - 0, 127935x_4 - 0, 0, 2695x_5 + 0, 354796x_6 + 0, 104834x_7 - 0, 127935x_8 - 0, 0, 2695x_9 + 0, 354796x_{10} + 0, 0, 70, 2271x_7 + 0, 0, 72433x_8 - 0, 33693x_9 + 0, 0, 526109x_{10})}{1 + \exp(-1, 03738 - 0, 0, 0, 0, 321x_1 + 0, 0, 0, 872346x_2 - 0, 104834x_3 - 0, 127935x_4 - 0, 0, 2695x_5 + 0, 354796x_6 + 0, 104834x_7 - 0, 127935x_8 - 0, 0, 2695x_9 + 0, 354796x_{10} + 0, 0, 70, 2271x_7 + 0, 0, 72433x_8 - 0, 33693x_9 + 0, 0, 526109x_{10})} \quad (13)$$